## 2U3UUSUUF 2UUCUMESOF@3UU GFSOF@3OFUUECF U2GU3FU U4UGEUFU НАЦИОНАЛЬНАЯ АКАДЕМИЯ НАУК РЕСПУБЛИКИ АРМЕНИЯ

Հայшиտանի рիմիական հանդես 57, №3, 2004 Химический журнал Армении

УДК 546.655

## ФИЗИКО-ХИМИЧЕСКОЕ ИССЛЕДОВАНИЕ КРИСТАЛЛОГИДРАТА МОЛИБДАТА ЦЕРИЯ

### Л. Г. НЕРСИСЯН

Ереванский государственный университет

Поступило 10 XII 2003

На основании электронно-микроскопического, ИК спектроскопического, термогравиметрического и рентгенографического исследований установлено образование и строение синтезированного кристаллогидрата молибдата церия.

Рис. 5, табл. 1, библ. ссылок 10.

Ранее нами было дано объяснение методов и условий синтеза простых молибдатов РЗЭ ( $Ln_2(MoO_4)_3(xH_2O)$  из водных растворов солей исходных компонентов и были исследованы их физико-химические свойства [1-5].

В данной работе проведено физико-химическое исследование полученного нами молибдата церия состава  $Ce_2O_3 \cdot 3MoO_3 \cdot xH_2O$  ( $Ce_2(MoO_4)_3 \cdot xH_2O$ ).

## Экспериментальная часть и обсуждение результатов

С целью установления строения полученного соединения был проведен электронно-микроскопический анализ кристаллогидрата молибдата церия  $Ce_2O_3\cdot 3MoO_3\cdot xH_2O$ . Во избежание нарушения морфологии синтезированного соединения была использована методика препарирования. До нанесения суспензии на подложки образцы подвергались ультразвуковой диспергензии. Исследование было проведено в трансмиссионном режиме с помощью микроскопа "Tesla BS-500".

На основании данных электронной микроскопии установлено, что синтезированный кристаллогидрат молибдата церия – кристаллическое соединение (рис. 1a,b)

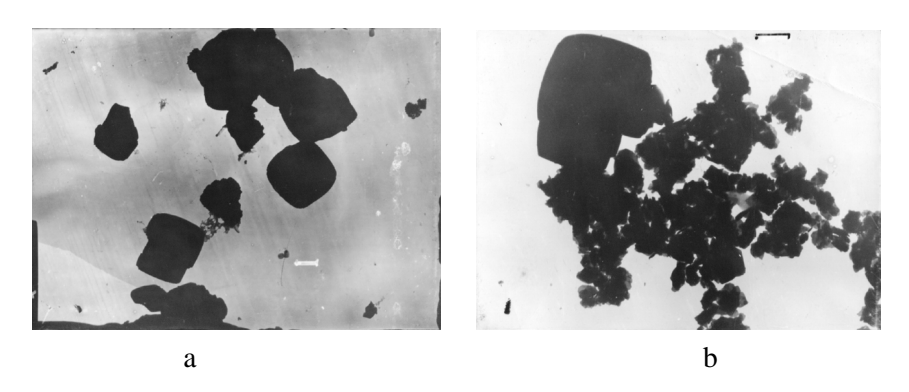


Рис. 1. Электронная микроскопия Се2О3(3МоО3(хН2О

На электронных микрофотографиях синтезированные зерна кристаллогидрата молибдата церия представлены довольно крупными (от 1 до 3 мкм) зернами пирамидального габитуса. На другом участке зерна такого же габитуса представлены как зеркала, размеры которых доходят до 0,1-0,2 mkm.

ИК спектры кристаллогидрата молибдата церия состава  $Ce_2O_3\cdot 3MoO_3\cdot xH_2O$  (рис. 2) содержат ряд полос поглощения в области 3580-680  $cm^1$ .

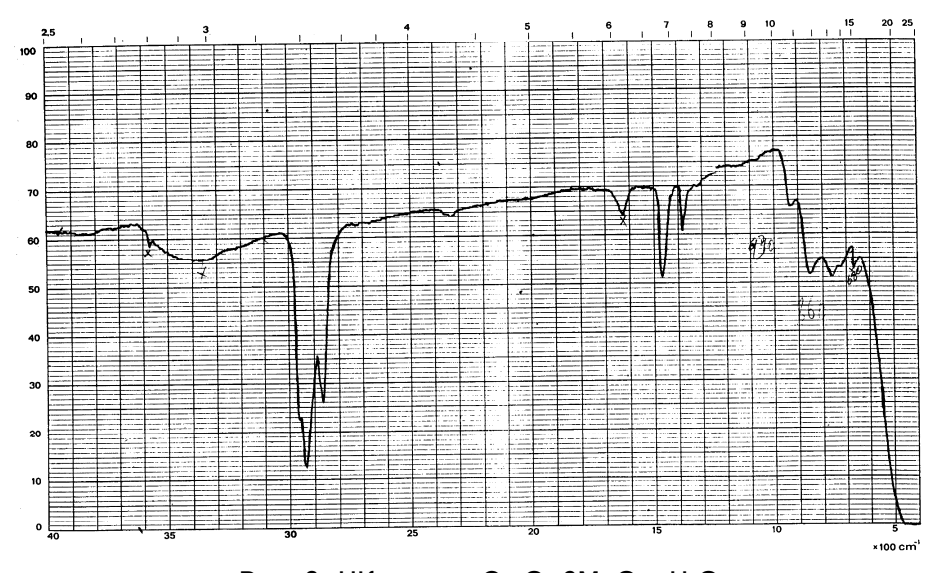


Рис. 2. ИК спектр  $Ce_2O_3 \cdot 3MoO_3 \cdot xH_2O$ .

Широкая полоса поглощения в интервале 3500-3050  $cm^1$  при максимуме 3350  $cm^1$  отвечает внутренним валентным колебаниям НОН; 1695  $cm^1$  — деформационное колебание молекул воды H<sub>2</sub>O [5]; 2940, 2870, 1485, 1390  $cm^1$  — вазелиновое масло. 936-860  $cm^1$  — высокочастотное валентное колебание тетраэдра [MoO<sub>4</sub>]<sup>2-</sup>; 936  $cm^1$  — искаженного и 860  $cm^1$  — неискаженного тетраэдра [MoO<sub>4</sub>]<sup>2-</sup> [6,7].

Полосы поглощения с максимумами 770, 720, 680  $cm^1$  согласуются с выводами авторов [8]; они приписываются колебаниям биядерных анионов  $[{\rm Mo_2O_8}]^{4-}$  в соединениях  ${\rm Ln_2(MoO_4)_3}$ .

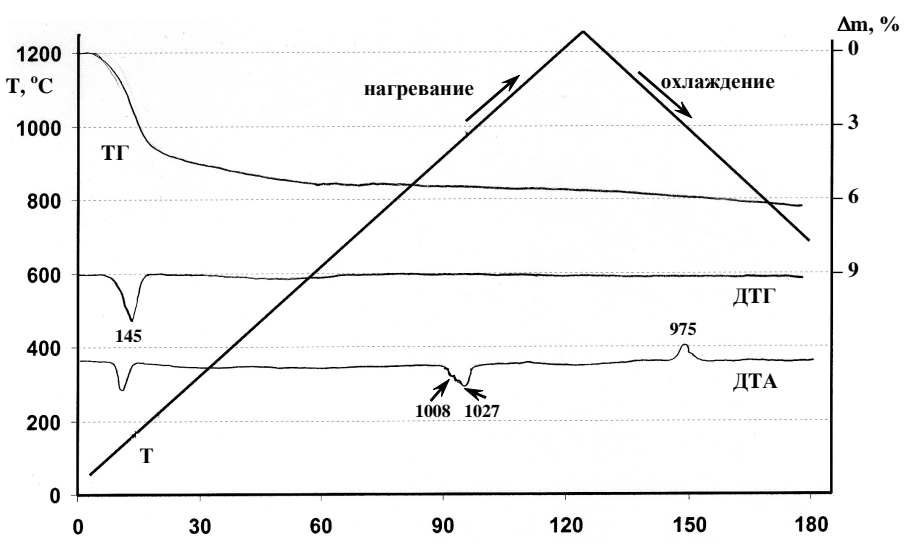


Рис. 3. Дериватограмма Се2О3(3МоО3(хН2О.

На рис. З приводятся данные термического анализа соединения  $Ce_2O_3\cdot 3MoO_3\cdot xH_2O$  при нагревании в интервале температур 25-1380°C со скоростью нагрева 10-15°C/мин (внутренний стандарт  $Al_2O_3$ , навеска  $(0,15-0,30\ r)$ .

По данным термического анализа (ТГА-ДТА), процесс потери  $H_2O$  протекает в одну стадию, с достаточной продолжительностью во времени и температуры.  $Ce_2O_3\cdot 3MoO_3\cdot xH_2O$  теряет воду ((m(3,7 масс.%)) в интервале температур  $80\text{-}220^\circ\text{C}$  (сопровождается одним эндо-эффектом на кривой ДТГ с максимумом при  $T=145^\circ\text{C}$ ), что соответствует расчетной формуле кристаллогидрата  $Ce_2(MoO_4)_3\cdot 1,7H_2O$ . По данным ДТА, проведенного при повышенных температурах (900-1300°C), соединение  $Ce_2O_3\cdot 3MoO_3(xH_2O)$  плавится. Установлено, что температура плавления кристаллогидрата молибдата церия равна  $T_{max}=1017,5\cdot 10^\circ\text{C}$ . В режиме охлаждения на кривой ДТА дериватограмм соединений  $Ce_2(MoO_4)_3\cdot xH_2O$  отмечены экзо-эффекты, отвечающие процессу кристаллизации расплавов в интервале температур 990-940°C. Предполагается, что идет процесс сублимации.

Для уточнения изменений, происходящих в структуре кристаллогидрата молибдата церия, высушенного при  $300^{\circ}$ С (после обезвоживания), отвечающего, по всей видимости, составу  $Ce_2O_3\cdot 3MoO_3$ , образцы подвергались ИК спектроскопическому исследованию (рис. 4).

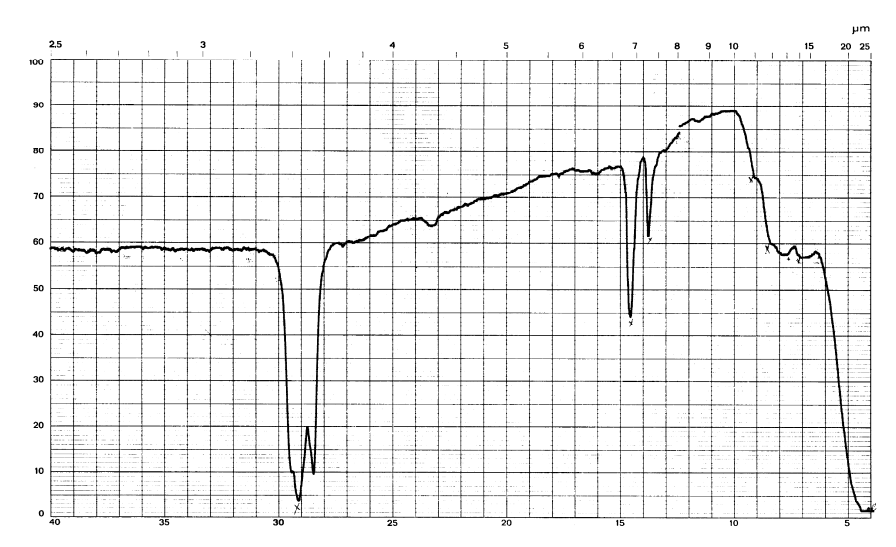


Рис. 4. ИК спектр  $Ce_2O_3 \cdot 3MoO_3$ .

На ИК спектре кристаллогидрата молибдата церия после сушки при 300°С не обнаруживаются полосы поглощения, отвечающие колебаниям молекул  $H_2O$ ;  $915\ cm^{1}$  – максимальная частота валентного колебания искаженного тетраэдра [MoO₄]²-;  $840\ cm^{1}$  – валентное колебание неискаженного тетраэдра [MoO₄]²-. Полосы поглощения с максимумами 780, 720,  $630\ cm^{1}$  приписываются колебаниям с участием атомов кислорода биядерной системы с решеткой биядерного аниона [Mo₂Oଃ]⁴- [8].

рентгенографическое исследование Далее проведено кристаллогидрата молибдата церия после сушки при 300°C. Идентификацию фаз в образце кристаллогидрата молибдата церия проводили на основе анализа дифракционной картины, получаемой при исследовании образца методом порошка. Съемка проводилась в кварцевой кювете на модернизированной установке "URD-6", на Cu-К(-излучении (никелевый фильтр) в режиме интегрального счета с определением межплоскостных расстояний. Проведено индицирование специальной компьютерной программе (рис. 5, табл.). Рентгенографическое исследование показало, что обезвоженный кристаллогидрат молибдата церия имеет моноклинную решетку с параметрами элементарной ячейки: a = 11,915 (5) Å, b = 3,539 (3) Å, c =9,151 (3) Å,  $\beta$  = 92,55 (4),  $\nu$  = 385,5 (2) Å.

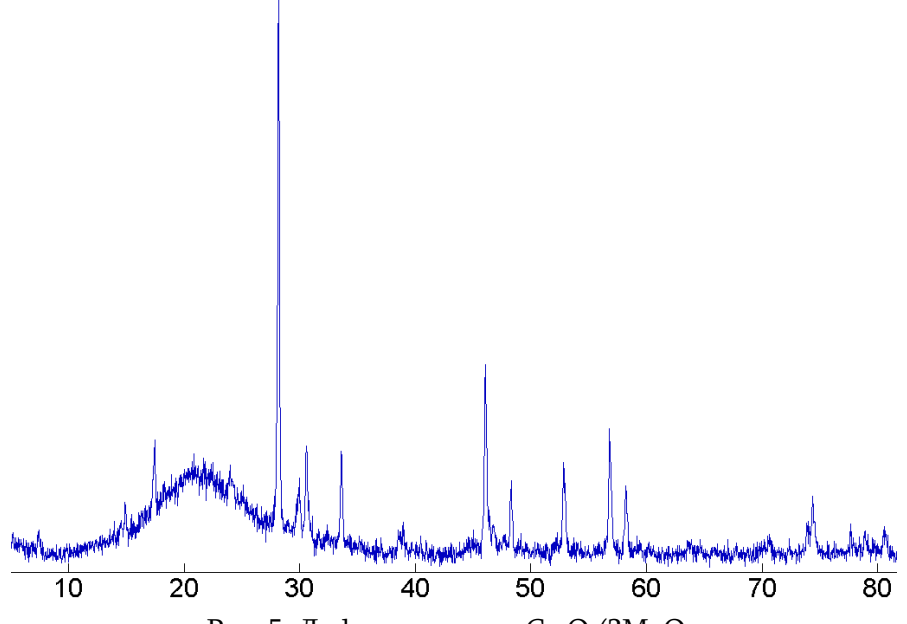


Рис. 5. Дифрактограмма Се2О3(3МоО3.

Таблица

## Рентгенографические данные

2([obs]	h	k	1	2( [calc]	obs-calc	Int.
7,403	1	0	0	7,421	-0.0174	3,8
14,889	2	0	0	14,872	0,0169	5,2
17,402	-2	0	1	17,400	0,0027	12,1
23,992	-2	0	2	23,994	-0,0020	3,8
	-3	0	1	24,029	-0.0370	
28,156	1	1	1	28,151	0,0056	100,0
29,911	<b>-1</b>	0	3	29,918	-0.0071	7,5
30,584	1	0	3	30,580	0,0040	16,5
33,612	2	0	3	33,604	0,0079	18,2
46,072	3	1	3	46,104	-0,0323	34,3
48,287	1	1	4	48,256	0,0315	12,5
52,865	6	1	0	52,861	0,0037	17,0
56,844	<b>-1</b>	1	5	56,856	_	22,0
	<b>-</b> 7	0	2	56,878	0,0115	
58,236	2	2	2	58,208	-0.0344	12,1
	-2	1	5	58,232	0,0280	
					0,0035	

Рентгенографические данные кристаллогидрата молибдата церия  $Ce_2O_3(3MoO_3$  хорошо согласуются с данными банка [9], однако они не соответствуют данным банка [10]. Следует отметить, что исходные компоненты практически отсутствуют.

Таким образом, в результате исследования получен кристаллогидрат молибдата церия в виде кристаллического соединения, не растворимого в воде. Рентгенографическое исследование показало, что соединение, синтезированное нами ( $Ce_2MoO_4\cdot 1,7H_2O$ ) после сушки при  $300^{\circ}C$ , соответствует соединению состава  $Ce_2(MoO_4)_3$  [9].

Проведенные исследования дают основание полагать, что нами синтезировано новое соединение – кристаллогидрат молибдата церия.

## ՑԵՐԻՈՒՄԻ ՄՈԼԻԲԴԱՏԻ ԲՅՈՒՐԵՂԱՀԻԴՐԱՏԻ ՖԻԶԻԿԱ-ՔԻՄԻԱԿԱՆ ՀԵՏԱԶՈՏՈՒՄ

### Լ. Գ. ՆԵՐՄԻՍՑԱՆ

Մինթեզացված ցերիումի մոլիբդատի բյուրեղահիդրատի իսկությունը պարզելու նպատակով անց են կացվել էլեկտրոնո-միկրոսկոպիկ, ԻԿ սպեկտրոսկոպիկ և ռենտգենոֆրաֆիկ հետազոտություններ։

# PHISIC-CHEMICAL RESEARCH OF CRYSTALOHYDRATE MOLIBDATES OF CERIUM

### L. G. NERSISYAN

In order to determine truthfulness of synthesised crystalohydrate molibdate of cerium had been carried out electron-microscope, IK spectroscopic and rentgenoscope researches.

#### ЛИТЕРАТУРА

- [1] *Нерсисян Л.Г., Бабаян Г.Г., Григорян С.К.* // Информационные технологии и управление, 2001, №2, с. 109.
- [2] Нерсисян Л.Г., Бабаян Г.Г., Григорян С.К. // Хим. ж. Армении, 2002, т. 55, №3, с. 67.
- [3] Нерсисян Л.Г., Власов В.К. // Хим. ж. Армении, 2002, т. 55, №4, с. 133.
- [4] Нерсисян Л.Г. // Хим. ж. Армении, 2003, т. 56, №1-2, с. 36.
- [5] Нерсисян Л.Г., Бурдина К.П., Жижин М.Г. // Хим. ж. Армении, 2003, т. 56, №3, с. 120.
- [6] Накамото К. ИК спектры и спектры КР неорганических и координационных соединений. М., Мир, 1966.
- [7] *Царюк В.И., Золин Б.Д., Джуринский В.Ф.* // Журнал неорганической химии, 1996, т. 41, №3, с. 489.
- [8] *Царюк В.И., Золин Б.Д., Джуринский В.Ф.* // Журнал неорганической химии, 1996, т. 41, №1, с. 156.
- [9] 30-0303 31-0333, 28-0453, 1997 JCPDS International Centre Data. All rights reserved PCPDFWIN, v. 1, 30.
- [10] 76-1040, 1998 JCPDS International Centre for Diffraction Data. All rights reserved PCPDFWIN, v. 2, 01.